

© 2021 г. А.И. МАЛИКОВ, д-р физ.-мат. наук (a\_i\_malikov@mail.ru)  
(Казанский национальный исследовательский технический  
университет им. А.Н. Туполева — КАИ)

## ОЦЕНИВАНИЕ СОСТОЯНИЯ И СТАБИЛИЗАЦИЯ НЕЛИНЕЙНЫХ СИСТЕМ С ДИСКРЕТНЫМ УПРАВЛЕНИЕМ И НЕОПРЕДЕЛЕННЫМИ ВОЗМУЩЕНИЯМИ<sup>1</sup>

Рассматриваются непрерывные системы с дискретным управлением с неопределенными нелинейностями, подверженные воздействию ограниченных внешних возмущений. На основе метода квадратичных функций Ляпунова, матричных систем сравнения и техники дифференциальных линейных матричных неравенств развивается подход к задачам оценивания состояния, подавления начальных отклонений и неопределенных возмущений с помощью обратной связи по состоянию, доступному в дискретные моменты времени. Предлагается способ синтеза периодического и апериодического дискретного управления, обеспечивающий на конечном интервале принадлежность заданному множеству траекторий исходной системы при любых возмущениях, ограниченных по  $L_\infty$  норме.

*Ключевые слова:* непрерывные системы с липшицевыми нелинейностями, неопределенные возмущения, оценивание состояния, дискретное управление, дифференциальные линейные матричные неравенства.

DOI: 10.31857/S0005231021040048

### 1. Введение

В обширной литературе по синтезу управления область, которой уделяется мало внимания, — это управление системами с дискретными данными. В этой задаче объект с непрерывным временем обычно управляется алгоритмом обратной связи с дискретным временем. Устройство дискретизации и квантования обеспечивает согласование между непрерывным временем и дискретным временем. Одним из способов решения проблемы дискретного управления является реализация алгоритма непрерывного управления с достаточно малым периодом дискретизации. Однако аппаратное обеспечение, используемое для дискретизации и проведения измерений на объекте или вычисления управляющего воздействия с обратной связью, может сделать невозможным сокращение периода выборки до уровня, который гарантирует приемлемые характеристики замкнутой системы. В этом случае становится интересным исследовать применение алгоритмов дискретного управления, основанных на модели процесса с непрерывным временем.

---

<sup>1</sup> Работа выполнена при поддержке Российского фонда фундаментальных исследований (проект № 18-08-01045а).

В последнее время дискретное управление широко применяется в цифровых и сетевых системах [1–6]. Большое внимание уделяется анализу их устойчивости [7–21]. Как отмечено в [1], существуют три основных подхода к анализу устойчивости и синтезу системы с дискретными данными, основанные на технике линейных матричных неравенств (ЛМН). Первый подход связан с представлением системы с дискретными данными в виде системы с запаздыванием [1, 2, 5–7]. Такой подход в основном применяется для линейных систем с дискретными данными при постоянной или изменяющейся во времени дискретизацией. Условия устойчивости таких систем получены с помощью функционалов Ляпунова–Красовского или функций типа Ляпунова–Разумихина [2].

Во втором подходе [8, 9, 13, 17 и др.] исходная система с дискретными данными представляется как система с импульсами. Выбирая кусочно-зависимый от времени функционал Ляпунова–Красовского или разрывный функционал Ляпунова–Красовского, можно получить менее консервативные условия устойчивости [14, 15, 18, 21, 22].

Следует отметить, что, хотя некоторые менее консервативные критерии устойчивости могут быть получены с использованием вышеупомянутых двух подходов, выбранные функционалы Ляпунова–Красовского обычно сложны. Так как полученные ЛМН требуют при решении большего количества скалярных и матричных переменных, общая вычислительная сложность критериев устойчивости определенно намного выше.

Третий подход – это подход с дискретным временем [1, 2, 10–12, 17, 19, 20], при котором система с дискретными данными эквивалентно преобразуется в конечномерную систему с дискретным временем, в которой сохраняется информация о состоянии системы между моментами дискретизации. Системы с аperiodическими дискретными данными также изучались в дискретной временной области. В частности, линейные системы с постоянными коэффициентами с аperiodической дискретизацией были проанализированы с использованием модели линейной системы с дискретным временем с переменным параметром. Эффект дискретизации может быть смоделирован с помощью оператора, а проблема устойчивости может быть решена в рамках подхода устойчивости входа/выхода [1, 2, 19]. В данной статье используется второй подход для решения задачи оценивания состояния и синтеза дискретного управления.

Как было отмечено в обзоре [1], несмотря на то что в публикациях были представлены значительные достижения в этой области, проблемы, связанные как с основами таких систем, так и с выводом конструктивных методов анализа устойчивости, остаются открытыми даже для случая линейной системы. Следует также отметить, что не все предлагаемые в литературе критерии устойчивости, представленные в виде ЛМН, могут быть применены для синтеза дискретного управления.

Обычно в основу способов синтеза дискретного управления полагается обеспечение устойчивости (асимптотической, экспоненциальной) [6–8, 10, 12, 17, 23] или оптимального качества по  $H_2$  или  $H_\infty$  критериям исходной непрерывной системы [24–28]. При этом рассматриваются, как правило, линейные

системы без учета возмущений. В [29] показатели  $H_2$  и  $H_\infty$  качества определяются и выражаются через дифференциальные линейные матричные неравенства (ДЛМН). На основе принципа оптимальности Беллмана, выраженного в терминах уравнения динамического программирования, связанного с интервалом времени, соответствующим двум последовательным моментам выборки, предлагаются способы синтеза оптимальных  $H_2$  и  $H_\infty$  регуляторов полного порядка с обратной связью по выходу периодических дискретных данных для линейных инвариантных систем с непрерывным временем. Задачи синтеза оптимальных регуляторов решаются путем преобразования всех ограничений в ЛМН и использования методов полуопределенного программирования. В [30] предложены способы синтеза стабилизирующих динамических регуляторов с обратной связью по выходу для класса линейных апериодических импульсных систем. Условия синтеза сформулированы в виде ЛМН, зависящих от времени, которые могут быть решены численно с использованием методов релаксации матричных сумм квадратов. Полученные результаты применены для синтеза динамических регуляторов с обратной связью по выходу для систем с апериодическими дискретными данными. В [31] подход с использованием векторной функции Ляпунова для 2D систем используется для получения условий устойчивости импульсной системы, а затем решается задача синтеза робастного управления на основе наблюдателя для линейных систем с дискретными данными.

Цель данной статьи — представить способы оценивания состояния и синтеза дискретного управления для класса непрерывных систем с липшицевыми нелинейностями и неопределенными ограниченными по норме возмущениями. При этом исходная непрерывная модель представляется в виде системы с импульсным изменением координат состояния. Предложенный в [32, 33] и развитый в [34, 35] подход с использованием функции Ляпунова с изменяющимися коэффициентами и ДЛМН применяется для решения задач оценивания состояния, анализа ограниченности на конечном интервале и синтеза дискретного управления одного класса нелинейных систем при учете неопределенных возмущений. В результате задачи оценивания состояния и синтеза дискретного управления сводятся к совокупности задач оптимизации с ЛМН, получающихся при кусочно-линейной аппроксимации решения ДЛМН [36]. Рассматриваются случаи периодического и апериодического дискретного управления. На примере линейной системы второго порядка проводится сопоставление предлагаемого подхода с другими известными методами. Результаты применяются для стабилизации однозвенного манипулятора с помощью как периодического, так и апериодического дискретного управления.

## 2. Непрерывная система с дискретным управлением

Рассматривается система с дискретным управлением

$$(1) \quad \dot{x}(t) = A(t)x(t) + D(t)w(t) + \Phi(t)\varphi(t, x(t)) + B(t)u(t),$$

где  $x \in \mathbb{R}^n$  — вектор состояния,  $w(t) \in W \subset \mathbb{R}^r$  — вектор неопределенных внешних возмущений,  $u \in \mathbb{R}^m$ ,  $u(t) = K(t_k)x(t_k)$ ,  $t \in [t_k, t_{k+1})$  — вектор управления в форме обратной связи по состоянию, измеряемому в дискретные

моменты времени  $t_k \in \Theta = \{t_0, t_k = t_{k-1} + h_k, k = 1, \dots, N-1\}$ ,  $h_k$  — шаг выборки измерений,  $A \in \mathbb{R}^{n \times n}$ ,  $B \in \mathbb{R}^{n \times m}$ ,  $D \in \mathbb{R}^{n \times r}$ ,  $\Phi \in \mathbb{R}^{n \times q}$  — известные матрицы с постоянными или непрерывными и ограниченными элементами при всех  $t \in T$ ,  $T = [t_0, t_N]$ ,  $t_0, t_N$  — начальный и конечный моменты времени.

Нелинейная векторная функция  $\varphi(t, x)$  является непрерывной и удовлетворяет ограничению

$$(2) \quad \|\varphi(t, x)\|^2 \leq \mu_0 + \mu_1 \|C_f(t)x\|^2 \quad \forall t \in T, \quad x \in \mathbb{R}^n,$$

где  $C_f(t)x \in \mathbb{R}^{q \times n}$  — известная матрица с ограниченными элементами при всех  $t \in T$ . Здесь и далее  $\|\cdot\|$  означает евклидову норму вектора,  $\mu_0, \mu_1 \geq 0$  — заданные константы.

Предположим, что неопределенные возмущения являются непрерывными и ограниченными в каждый момент времени функциями:

$$(3) \quad W = \{w(t) \in \mathbb{R}^r : \|w(t)\| \leq 1 \quad \forall t \in T\}.$$

### 3. Задача оценивания состояния

Пусть в начальный момент времени состояние системы  $x(t_0) = x_0$  принадлежит заданному эллипсоиду

$$(4) \quad E(Q_0) = \{x \in \mathbb{R}^n : x^T Q_0^{-1} x \leq 1\},$$

где  $Q_0$  — заданная положительно определенная матрица, индекс T — знак транспонирования.

Требуется найти оценку в виде эллипсоида, ограничивающего множество состояний исходной системы (1) на рассматриваемом интервале  $[t_0, t_N]$ . В дальнейшем будет предложен способ синтеза дискретного управления, обеспечивающего минимизацию следа матрицы эллипсоида, ограничивающего состояние или выход рассматриваемой системы.

Задача оценивания состояния решается с использованием второго подхода, при котором исходная система с дискретным управлением представляется как импульсная система [1]. Определим переменные  $u(t) = Kx(t_k)$  и  $z(t) = (x^T(t), u^T(t))^T$ . Тогда систему (1) можно представить как систему с импульсами

$$(5) \quad \dot{z}(t) = A_z(t)z(t) + D_z(t)w(t) + \Phi_z(t)\varphi(t, x(t)), \quad t \neq t_k,$$

$$(6) \quad z(t_k) = J_z(t_k)z(t_k - 0), \quad t = t_k \in \Theta,$$

где

$$A_z(t) = \begin{bmatrix} A(t) & B(t) \\ 0 & 0 \end{bmatrix}, \quad D_z(t) = \begin{bmatrix} D(t) \\ 0 \end{bmatrix},$$

$$\Phi_z(t) = \begin{bmatrix} \Phi(t) \\ 0 \end{bmatrix}, \quad J_z(t_k) = \begin{bmatrix} I & 0 \\ K(t_k) & 0 \end{bmatrix}.$$

При этом  $z(t_0) = z_0 = (x_0^T, u_0^T) \in E(Q_{z_0})$ , где  $Q_{z_0} = \text{diag}(Q_0, KQ_0K^T)$ ,  $x(t) = Cz(t)$ ,  $C = \begin{pmatrix} I_n & 0_m \end{pmatrix}$ ,  $I_n$  — единичная  $(n \times n)$ -матрица. Обозначим  $C_{fz}(t) = [C_f(t), 0]$ . В дальнейшем для краткости опускаем зависимость от  $t$  или  $t_k$  у матриц  $A_z(t)$ ,  $D_z(t)$ ,  $\Phi_z(t)$ ,  $C_{fz}(t)$ ,  $J_z(t_k)$ .

На интервалах непрерывности  $[t_k, t_{k+1})$  ( $k = 0, 1, \dots, N-1$ ) для оценивания состояния будут использоваться теоремы 1 и 2 из [34], которые здесь приводятся для указанных интервалов.

*Теорема 1 [34]. Если существует решение  $Q(t) = Q(t, t_k, Q_k) > 0$  дифференциального матричного уравнения*

$$(7) \quad \begin{aligned} dQ(t)/dt = & A_z(t)Q(t) + Q(t)A_z^T + \alpha Q(t) + \frac{1}{\alpha - \mu_0/\beta} D_z D_z^T + \\ & + \beta \Phi_z \Phi_z^T + \frac{\mu_1}{\beta} Q(t) C_{fz}^T C_{fz} Q(t) \end{aligned}$$

при  $t \in [t_k, t_{k+1})$  и  $\beta > 0$ ,  $\alpha > \mu_0/\beta$ , то эллипсоид  $E(Q(t))$  является ограничивающим для траекторий системы (5), стартующих из начального эллипсоида  $E(Q_k)$ , т.е.

$$z(t, t_k, z(t_k)) \in E(Q(t)) \quad \text{при всех } t \in [t_k, t_{k+1}).$$

Здесь  $Q(t_0) = Q_{z_0}$ ,  $\beta$ ,  $\alpha$  — свободные параметры, которые в общем случае могут зависеть от времени.

Доказательство теоремы 1 представлено в [34]. Там же были доказаны утверждения о существовании и ограниченности положительно определенных решений уравнения (7) при фиксированных значениях параметров  $\alpha$  и  $\beta$ . Вопрос же выбора значений  $\alpha$  и  $\beta$  не был рассмотрен. Однако ими можно распорядиться для получения оценки, оптимальной в каждый момент времени по критерию следа матрицы  $Q(t) = Q(t, t_k, Q_k)$ , определяющего сумму длин полуосей ограничивающего эллипсоида  $E(Q(t))$ . Это обеспечивается минимизацией следа матрицы правой части (7) по  $\beta$ ,  $\alpha$  при всех  $t \in [t_k, t_{k+1})$ .

*Лемма. Пусть матрицы  $\Phi_z$ ,  $D_z$  имеют хотя бы по одному ненулевому элементу при всех  $t \in [t_k, t_{k+1})$ . Тогда если существует на  $[t_k, t_{k+1})$  решение  $Q(t) = Q(t, t_k, Q_k) > 0$  уравнения (7), где*

$$(8) \quad \begin{aligned} \beta(Q(t)) = & \sqrt{\frac{\mu_0 \text{trace}(Q(t)) + \mu_1 \text{trace}(Q(t) C_{fz}^T C_{fz} Q(t))}{\text{trace}(\Phi_z \Phi_z^T)}}, \\ \alpha(Q(t)) = & \frac{\mu_0}{\beta(Q(t))} + \sqrt{\frac{\text{trace}(D_z D_z^T)}{\text{trace}(Q(t))}}, \end{aligned}$$

то эллипсоид  $E(Q(t))$ , ограничивающий состояния системы (5), будет оптимальным по критерию  $\text{trace}(Q(t)) \rightarrow \min_{Q(t), \beta(t)}$  при каждом  $t \in [t_k, t_{k+1})$ .

Доказательство леммы дано в Приложении.

*Замечание 1.* При подстановке выражений (8) уравнение (7) становится существенно нелинейным. При практических применениях оно может быть решено численно. Исследование же вопросов существования и свойств решений этого уравнения выходит за рамки данной статьи. Здесь предлагается ограничиться заданием на каждом интервале  $[t_k, t_{k+1})$  фиксированных значений параметров  $\beta(Q(t_k))$ ,  $\alpha(Q(t_k))$ , определяемых по формулам (8) в моменты  $t_k$ ,  $k = 0, \dots, N - 1$ . В этом случае согласно леммам 1 и 2 из [34] (7) будет являться матричной системой сравнения (МСС) для (5), а ее решение  $Q(t) = Q(t, t_k, Q_k)$  при условии  $Q(t_k) = Q_k > 0$  будет положительно определенным. Ясно, что такое решение будет определять эллипсоид  $E(Q(t))$ , ограничивающий траектории системы (5), стартующие из эллипсоида  $E(Q(t_k))$ , который, однако, не будет оптимальным при всех  $t \in [t_k, t_{k+1})$ . Поэтому для оценивания состояния здесь будет использоваться подход, основанный на численном решении задачи оптимизации с ДЛМН.

*Теорема 2* [34]. *Если при некотором заданном  $\alpha > 0$  существует решение  $Q(t) = Q(t, t_k, Q_k) > 0$ ,  $\beta(t) > \alpha/\mu_0$  дифференциального матричного неравенства*

$$(9) \quad \begin{bmatrix} -dQ(t)/dt + A_z Q(t) + Q(t) A_z^T + \alpha Q(t) + \beta \Phi_z \Phi_z^T & D_z & Q(t) C_{fz}^T & 0 \\ & D_z^T & -\alpha I & 0 & I \\ & C_{fz} Q(t) & 0 & -\frac{\beta(t)}{\mu_1} I & 0 \\ & 0 & I & 0 & -\frac{\beta(t)}{\mu_0} I \end{bmatrix} \leq 0$$

при  $t \in [t_k, t_{k+1})$ , то эллипсоид  $E(Q(t))$  является ограничивающим для траекторий системы (5), стартующих из начального эллипсоида  $E(Q_k)$ .

Доказательство теоремы 2 представлено в [34].

Как отмечено в [34], положительно определенное решение уравнения (7) при некоторых  $\alpha > 0$ ,  $\beta(t) \geq \mu_0/\alpha$  на рассматриваемом интервале времени (в данном случае  $[t_k, t_{k+1})$ ) будет являться решением дифференциального матричного неравенства (9) при тех же значениях  $\beta$ ,  $\alpha$ . При тех же  $\beta$ ,  $\alpha$  могут существовать и другие решения (9), которые будут определять эллипсоид, ограничивающий траектории системы (5). При фиксированном  $\alpha > 0$  неравенство (9) становится линейным по переменным  $Q(t)$  и  $\beta(t)$  и оптимальный ограничивающий эллипсоид будет определяться из решения следующей задачи оптимизации  $\text{trace}(Q(t)) \rightarrow \min_{Q(t), \beta(t)}$  при ограничениях  $Q(t) > 0$ ,  $\beta(t) > \mu_0/\alpha$

и ДЛМН (9). Такое оптимальное решение будет зависеть от параметра  $\alpha$ . Чтобы решение было оптимальным и по  $\alpha$ , следовало бы добавить еще одномерную оптимизацию по  $\alpha$  из заданного диапазона. Однако это еще более усложняет задачу нахождения оптимального ограничивающего эллипсоида. Поэтому значение параметра  $\alpha$  предлагается вычислять только в дискретные моменты  $t_k$  из (8) по известной в этот момент матрице  $Q(t_k)$ , а затем при  $\alpha_k = \alpha(Q(t_k))$  решать задачу оптимизации  $\text{trace}(Q(t)) \rightarrow \min_{Q(t), \beta(t)}$  при ограничениях  $Q(t) > 0$ ,  $\beta(t) > \mu_0/\alpha_k$  и ДЛМН (9). Далее будет показано, каким об-

разом эта задача оптимизации сводится в результате дискретизации к совокупности задач оптимизации с ограничениями в виде ЛМН.

В моменты  $t_k$ ,  $k = 1, \dots, N$ , поведение системы представлено линейным разностным уравнением (6). В этом случае для оценивания состояния будет использоваться теорема 1 из [35], которая здесь приводится применительно к линейному разностному уравнению (6).

*Теорема 3. Чтобы эллипсоид  $E(Q(t_{k+1}))$  ограничивал состояния системы в момент  $t_{k+1}$  при условии, что  $z(t_{k+1} - 0) \in E(Q(t_{k+1} - 0))$ , достаточно, чтобы существовало решение  $Q(t_{k+1}) > 0$  разностного линейного матричного неравенства (РЛМН)*

$$(10) \quad \begin{pmatrix} Q(t_{k+1}) & J_z Q(t_{k+1} - 0) \\ Q(t_{k+1} - 0) J_z^T & Q(t_{k+1} - 0) \end{pmatrix} \geq 0.$$

Доказательство теоремы 3 для более общего случая дискретной системы с неопределенными возмущениями представлено в [35].

Рассмотрим теперь ряд случаев относительно параметра выборки  $h_k$ :

1. Все значения  $h_k$  равны  $h_k = h > 0$ ,  $k = 1, \dots, N$ ,  $h$  — постоянный период выборки;

2. Все значения  $h_k > 0$ ,  $k = 1, \dots, N$ , известны (переменный период выборки);

3. Значения  $h_k > 0$ ,  $k = 1, \dots, N$ , неизвестны и могут изменяться в интервале  $[h_{\min}, h_{\max}]$ , где  $0 < h_{\min} < h_{\max}$ ,  $h_{\min}, h_{\max}$  известны.

Рассмотрим сначала случай 1 с периодическими выборками (импульсами), т.е.  $t_{k+1} - t_k = h = \text{const}$ . Случай 2 при переменных, но известных  $h_k$  рассматривается аналогично.

Справедливо следующее утверждение.

*Теорема 4. Эллипсоид  $E(Q(t))$ , где  $Q(t) = Q(t, t_0, Q_{z0})$  — решение матричной системы дифференциальных уравнений (7) с РЛМН (10) или задачи оптимизации  $\text{trase}(Q(t, t_0, Q_{z0})) \rightarrow \min$  с ограничениями ДЛМН (9) и РЛМН (10) будет ограничивающим для состояний системы (5), (6), а эллипсоид с матрицей  $CQ(t, t_0, Q_{z0})C^T$  будет ограничивающим для состояний исходной системы (1) с дискретным управлением при всех нелинейностях из (2) и возмущениях из (3).*

Доказательство основывается на последовательном применении теорем 1 и 2 на интервалах непрерывности  $[t_k, t_{k+1})$  ( $k = 0, 1, \dots, N - 1$ ) для получения матрицы  $Q(t, t_k, Q(t_k)) > 0$  эллипсоида, ограничивающего состояние  $z(t, t_k, x(t_k))$  системы (5), (6) с начальными данными из эллипсоида с матрицей  $Q(t_k)$  при всех нелинейностях из (2) и возмущениях из (3), и применении теоремы 3 в точках  $t_{k+1}$ , ( $k = 0, 1, \dots, N - 1$ ) для получения матрицы  $Q(t_{k+1}) > 0$ , ограничивающей состояние  $z(t_{k+1}, t_k, x(t_k))$  системы (5), (6) после импульса при условии  $z(t_{k+1} - 0, t_k, x(t_k)) \in E(Q(t_{k+1} - 0))$ . Здесь  $Q(t_{k+1} - 0) = Q(t_k + h, t_k, Q_k)$  — матрица эллипсоида, ограничивающего состояние системы (5), (6) непосредственно перед импульсом в момент  $t_{k+1}$ . Она определяется как решение дифференциального матричного

уравнения (7) или задачи оптимизации  $\text{trace}(Q(t, t_k, Q_k)) \rightarrow \min$  с ДЛМН (9) на  $[t_k, t_{k+1}]$ .

Таким образом, в случае периодического дискретного управления состояние системы (5), (6) с начальными данными из эллипсоида  $E(Q_{z0})$  будет ограничено эллипсоидом с матричной функцией  $Q(t, t_0, Q_{z0})$ , являющейся решением МСС (7) с РЛМН (10) или задачи оптимизации  $\text{trace}(Q(t, t_0, Q_{z0})) \rightarrow \min$  с ограничениями ДЛМН (9) и РЛМН (10) при  $t \in T$ .

При численном решении задачи оптимизации проводится дискретизация ДЛМН (9) на рассматриваемом интервале  $[t_0, t_N]$ . Производная  $dQ(t)/dt$  на интервале  $[t_k, t_{k+1}]$  считается постоянной и представляется как  $dQ(t)/dt = Z(t_k)$ , где  $t_k = t_0 + kh$ ,  $k = 1, \dots, N$ , и  $N$  есть целая часть отношения  $(t_N - t_0)/h$ . Тогда для  $t \in [t_k, t_{k+1}]$  матрица  $Q(t)$  определится как

$$(11) \quad Q(t) = Q(t_k) + (t - t_k)Z(t_k),$$

причем  $Q(t_0) = Q_{z0}$ . Для того чтобы матрица  $Q(t)$  удовлетворяла неравенству  $Q(t) > 0$  и ДЛМН (9) при всех  $t \in [t_k, t_{k+1}]$ , необходимо и достаточно, чтобы она удовлетворяла им в двух крайних точках  $t \in \{t_k, t_k + h\}$ , т.е. при каждом  $k = 0, \dots, N - 1$  одновременно должны выполняться неравенства [36]:

$$(12) \quad Q(t_k) > 0, \quad Q(t_k + h) > 0,$$

$$(13) \quad \begin{bmatrix} -Z(t_k) + A_z Q(t_k) + Q(t_k) A_z^T + \alpha_k Q(t_k) + \beta \Phi_z \Phi_z^T & D_z & Q(t_k) C_{fz}^T & 0 \\ & D_z^T & -\alpha_k I & 0 \\ & & 0 & -\frac{\beta(t_k)}{\mu_1} I \\ & C_{fz} Q(t_k) & & 0 \\ & & & I \\ & 0 & & 0 & -\frac{\beta(t_k)}{\mu_0} I \end{bmatrix} \leq 0,$$

$$(14) \quad \begin{bmatrix} -Z(t_k) + A_z Q(t_k + h) + Q(t_k + h) A_z^T + \alpha Q(t_k + h) + \beta \Phi_z \Phi_z^T & D_z & Q(t_k + h) C_{fz}^T & 0 \\ & D_z^T & -\alpha_k I & 0 \\ & & 0 & -\frac{\beta(t_k)}{\mu_1} I \\ & C_{fz} Q(t_k + h) & & 0 \\ & & & I \\ & 0 & & 0 & -\frac{\beta(t_k)}{\mu_0} I \end{bmatrix} \leq 0,$$

где  $Q(t_k + h) = Q(t_k) + hZ(t_k) = Q(t_{k+1} - 0)$ ,  $\alpha_k = \alpha(Q(t_k))$  из (8) и матрицы  $A_z, D_z, \Phi_z, C_{fz}$  берутся в момент  $t_k$ .

В результате линейной аппроксимации (11) решения ДЛМН (9) нахождение матрицы  $Q(t) > 0$  эллипсоида, ограничивающего состояния системы, сводится к последовательному решению совокупности задач оптимизации:  $\text{trace}(Q(t_{k+1})) \rightarrow \min_{Q(t_{k+1}) > 0, \beta(t_{k+1}) \geq \mu_0 / \alpha_k}$  при ЛМН ограничениях (10), (12)–(14) для  $k = 0, \dots, N - 1$ . На первой итерации при  $k = 0$  по заданной матрице  $Q(t_0) = Q_0$  и  $\alpha_0$  в результате решения указанной задачи оптимизации с



ЛМН вычисляются матрицы  $Q(t_0 + h)$  и  $Q(t_1)$  с минимальным следом, которые определяют матрицу эллипсоида, ограничивающего состояния системы (5), (6) на интервале  $[t_0, t_1]$ . Затем при  $k = 1, 2, \dots, N - 1$  по матрице  $Q(t_k)$  вычисляются  $\alpha_k$  и матрицы  $Q(t_k + h)$  и  $Q(t_{k+1})$ , которые определяют матрицу эллипсоида, ограничивающего состояния системы (5), (6) на последующих интервалах  $[t_k, t_{k+1}]$ .

Для численного решения на каждой итерации задач оптимизации с ЛМН используются программные средства полуопределенного программирования (CVX, Sedumi, Yalmip и др.). Они позволяют решать такую задачу для системы размерности порядка 20 за доли секунды. Общее время, требуемое для численного решения всей совокупности задач и получения эллипсоидальных оценок, будет зависеть от длительности рассматриваемого интервала времени и шага дискретизации ДЛМН.

*Замечание 2.* С целью более точной аппроксимации решения задачи оптимизации с ДЛМН на интервалах  $[t_k, t_{k+1}]$  рекомендуется решать задачу с шагом  $h_{ki} = h/M$ , где  $M > 1$  — количество промежуточных точек дискретизации интервала  $[t_k, t_{k+1}]$ . В этом случае значение матрицы  $Q(t_k + h) = Q(t_{k+1} - 0)$  определится как  $Q(t_k + h) = Q(t_k) + hZ_{ks}$ , где  $Z_{ks} = \sum_{i=0}^{M-1} Z(t_{ki})/M$  среднее значение производной на интервале  $[t_k, t_{k+1}]$ ,  $t_{ki} = t_k + ih_{ki}$ .

Рассмотрим теперь случай 3, когда система (5), (6) является апериодической, т.е. импульсы происходят в нерегулярные моменты времени. Пусть выполнено ограничение в виде интервала времени для последовательности моментов импульсов, т.е.  $t_{k+1} - t_k = h_k \in [h_{\min}, h_{\max}]$ . Пусть  $t \in [t_k, t_{k+1}]$  и  $\theta \in [0, h_{\max} - h_{\min}]$ .

Так же как в случае 1, при  $t \in [t_k, t_{k+1}] = [t_k, t_k + h_{\min} + \theta]$  может быть получена оценка в виде эллипсоида  $E(t) = \{x : x^T Q^{-1}(t)x \leq 1\}$ , если при некоторых  $\beta(t_k) > 0$ ,  $\alpha(t_k) \geq \mu_0/\beta(t_k)$  найдется положительно определенное решение  $Q(t) > 0$  матричной системы сравнения (7) или дифференциального линейного матричного неравенства (9) при  $t \in [t_k, t_{k+1}]$ ,  $k = 0, 1, 2, \dots, N - 1$ . Однако момент возникновения каждого следующего импульса  $t_{k+1}$  является неопределенным и может изменяться в интервале  $[t_k + h_{\min}, t_k + h_{\max}]$ . В данном случае эллипсоид, ограничивающий состояние системы в момент  $t_{k+1}$ , должен гарантированно содержать все эллипсоиды, которые будут получены при импульсном воздействии из эллипсоидов, ограничивающих состояния до момента  $t_{k+1}$  при всех  $t_{k+1} = t_k + h_k \in [t_k + h_{\min}, t_k + h_{\max}]$ . Поэтому (10) заменяется неравенством

$$(15) \quad Q(t_{k+1}) \geq JQ(t_k + h_{\min} + \theta)J^T,$$

которое должно быть выполнено при любом  $\theta \in [0, h_{\max} - h_{\min}]$ . Проверка этого неравенства затруднена, однако при использовании линейной аппроксимации решения задачи оптимизации  $\text{trace}(Q(t)) \rightarrow \min$  при ДЛМН ограничениях (9) в виде  $Q(t_k + h_{\min} + \theta) = Q(t_k) + (h_{\min} + \theta)Z(t_k)$  матричное неравенство (15) будет линейным по переменной  $\theta \in [0, h_{\max} - h_{\min}]$ . Поэтому оно будет выполнено при любых  $\theta \in [0, h_{\max} - h_{\min}]$  тогда и только тогда, когда

выполняется одновременно в двух крайних точках рассматриваемого интервала, т.е. при  $\theta \in \{0, h_{\max} - h_{\min}\}$ :

$$(16) \quad Q(t_{k+1}) \geq JQ(t_k + h_{\min})J^T, \quad Q(t_{k+1}) \geq JQ(t_k + h_{\max})J^T.$$

Здесь матрицы  $Q(t_k + h_{\min})$ ,  $Q(t_k + h_{\max})$  определяются из (11), вычисленных при  $t = t_k + h_{\min}$  и  $t = t_k + h_{\max}$  соответственно.

Таким образом, в случае аperiodического дискретного управления состояние системы (5), (6) с начальными данными из эллипсоида  $E(Q_{z_0})$  будет ограничено эллипсоидом с матричной функцией  $Q(t, t_k, Q_k)$  на интервалах непрерывности  $[t_k, t_{k+1})$  и эллипсоидом с матрицей  $Q_{k+1}$  при  $t = t_{k+1}$ . Матрица  $Q(t, t_k, Q_k)$  определяется из (11), где  $Z(t_k)$ , а также матрицы  $Q(t_k + h_k)$  и  $Q_{k+1}$  вычисляются в задаче оптимизации  $\text{trace}(Q(t_{k+1})) \rightarrow \min_{Q(t_{k+1}) > 0, \beta_k > \mu_0/\alpha_k}$  с ЛМН ограничениями (12)–(14) и (16).

Отметим, что оценку для вектора состояния  $x(t)$  исходной системы (1) с дискретным управлением, с нелинейностями из (2) и возмущениями из (3) при  $x(t_0)$  из (4) будет определять эллипсоид с матрицей  $CQ(t, t_0, Q_{z_0})C^T$ .

#### 4. Задача об ограниченности относительно заданных множеств

Обозначим множество начальных состояний  $E(R_0) = \{x \in \mathbb{R}^n : x^T R_0^{-1} x \leq 1\}$  и множество допустимых траекторий  $E(R(t)) = \{x \in \mathbb{R}^n : x^T R^{-1}(t) x \leq 1\}$ ,  $R_0, R(t)$  — известные симметрические положительно определенные матрицы,  $t \in T$ . Так же как в [32], вводится определение.

*Определение.* Будем говорить, что система с дискретными данными (5), (6) обладает на  $t \in T$  свойством ограниченности относительно заданных множеств  $\{E(R_0), E(R(t))\}$ , если для всех  $z_0 \in E(R_0)$  существуют на  $t \in T$  решения  $z(t) = z(t, t_0, x_0)$  системы (5), (6) с начальными данными  $z(t_0) = z_0$ , для которых имеет место  $z(t, t_0, z_0) \in E(R(t))$  при всех  $t \in T$ , всех нелинейностях из (2) и возмущениях из (3).

Отметим, что аналогичное определение было введено в [32] для линейных неавтономных систем, где были получены необходимые и достаточные условия в терминах разрешимости дифференциальных линейных матричных неравенств. Такое же динамическое свойство изучалось применительно к непрерывным в [34] и дискретным в [35] нелинейным липшицевым системам с неопределенными возмущениями. Особенностью данного динамического свойства является то, что оно определяет как качественное поведение, так и дает количественные оценки, поскольку в его определении указываются конкретные множества начальных данных и множества, которым должны принадлежать траектории системы с этими начальными данными.

С учетом полученных выше эллипсоидальных оценок состояния для системы с дискретными данными (5), (6), приходим к следующему утверждению.

*Теорема 5.* Система (5), (6) с периодическими (аperiodическими) импульсами обладает на  $[t_0, t_N]$  свойством ограниченности относительно заданных множеств  $\{E(R_0), E(R(t))\}$ , если существует решение  $Q(t) =$

$= Q(t, t_0, Q_{z0})$  МСС (7) с РЛМН (10) или ДЛМН (9) с РЛМН (10) (соответственно задачи оптимизации  $\text{trace}(Q(t_{k+1})) \rightarrow \min_{Q(t_{k+1}) > 0, \beta \geq \mu_0 / \alpha_k}$  с ЛМН ограничениями (12)–(14) и (16)) с начальными данными  $Q_0 \geq R_0$ , удовлетворяющее неравенству  $Q(t) \leq R(t)$  для всех  $t \in T$ .

При выполнении условий теоремы 5 исходная система (1) с дискретным управлением будет обладать ограниченностью относительно заданных множеств  $\{E(CR_0C^T), E(CR(t)C^T)\}$ .

### 5. Задача синтеза дискретного управления, обеспечивающего ограниченность непрерывной системы

Рассмотрим систему (1) с управлением, которое должно удовлетворять ограничению

$$(17) \quad u(t) \in \left\{ u : u^T U^{-1} u \leq 1 \right\}, \quad t \in T,$$

где  $U$  — заданная симметрическая положительно определенная  $(m \times m)$ -матрица.

Задача состоит в нахождении управления в виде обратной связи по состоянию, доступному в дискретные моменты времени  $t_k$ ,  $k = 0, 1, \dots, N - 1$ :

$$(18) \quad u(t) = K(t_k)x(t_k), \quad t \in [t_k, t_{k+1}), \quad k = 0, 1, \dots, N - 1,$$

стабилизирующего замкнутую систему и подавляющего начальные отклонения и воздействие внешних возмущений в смысле минимальности ограничивающего эллипсоида для состояний или обеспечивающего ограниченность замкнутой системы. Здесь  $K$  — матрица коэффициентов усиления дискретного регулятора.

Задача синтеза с учетом рассмотренного в разделе 3 способа численного решения ДЛМН (9) сводится к задаче оптимизации критерия при ограничениях в виде разностных линейных матричных неравенств. В качестве критерия берется след матрицы, определяющий размер ограничивающего состояния эллипсоида в дискретные моменты времени  $t_k$ ,  $k = 1, 2, \dots, N$ .

Представим исходную систему с дискретным управлением (18) в виде (5) с импульсами (6). Искомая матрица коэффициентов усиления регулятора входит только в разностное уравнение для импульсов (6). Представим его в виде

$$(19) \quad z(t_k) = J_z z(t_k - 0) = \left( \tilde{J} + \tilde{B}K(t_k)C \right) z(t_k - 0), \quad t_k \in \Theta,$$

где

$$\tilde{J} = \begin{pmatrix} I & 0 \\ 0 & 0 \end{pmatrix}, \quad \tilde{B} = \begin{pmatrix} 0 \\ I \end{pmatrix}, \quad C = ( I \ 0 ), \quad z(t_0 - 0) = z(t_0) \in E(Q_{z0}),$$

$Q_{z0} > 0$  — заданная матрица эллипсоида, ограничивающего начальные состояния.

Справедлива следующая теорема.

*Теорема 6.* Пусть при  $Q(t_0 - 0) = Q_{z0}$ ,  $\alpha_k = \alpha(Q(t_k - 0))$  из (8) и всех  $t_k$ ,  $k = 0, 1, \dots, N-1$ , найдутся решения  $Q(t_k)$ ,  $Q(t_{k+1} - 0) = Q(t_k + h) = Q(t_k) + hZ(t_k)$ ,  $Y(t_k)$  задачи

$$\text{trace}[Q(t_{k+1} - 0)] \rightarrow \min$$

при ограничениях (12)–(14) и

$$(20) \quad \begin{pmatrix} Q(t_k) & \tilde{J}Q(t_k - 0)C^T + \tilde{B}Y_k \\ CQ(t_k - 0)\tilde{J}^T + Y_k^T\tilde{B}^T & CQ(t_k - 0)C^T \end{pmatrix} \geq 0$$

$$(21) \quad \begin{pmatrix} U & Y_k \\ Y_k^T & CQ(t_k - 0)C^T \end{pmatrix} \geq 0,$$

где минимизация проводится по матричным переменным  $Q(t_k)$ ,  $Y_k \in \mathbb{R}^{m \times n}$ ,  $Z(t_k) \in \mathbb{R}^{n \times n}$ , скалярной переменной  $\beta(t_k) > \mu_0/\alpha_k$ , определяет согласно (11) матрицу  $Q(t)$  ограничивающего эллипсоида для вектора состояния  $z(t)$  и зависящую от времени матрицу коэффициентов дискретного управления по состоянию  $K(t_k) = Y_k(CQ(t_k - 0)C^T)^{-1}$ . Если, кроме того, матрица  $Q(t)$  удовлетворяет дополнительно ограничениям  $Q_{z0} \geq R_0$  и  $Q(t) \leq R(t)$  для всех  $t \in [t_0, t_0 + Nh]$ , где  $R_0$  и  $R(t)$  — заданные положительно определенные симметрические матрицы, то искомое управление (18) обеспечивает ограниченность замкнутой системы относительно множеств  $\{E(R_0), E(R(t))\}$ .

Доказательство теоремы 6 дано в Приложении.

В случае аperiodического дискретного управления ( $t_{k+1} - t_k = h_k \in [h_{\min}, h_{\max}]$ ) с учетом полученных в разделе 3 оценок состояния задача синтеза сводится к подобной задаче оптимизации  $\text{trace}[Q(t_{k+1} - 0)] \rightarrow \min$  при ЛМН ограничениях (12)–(14) и (20), (21) с той лишь разницей, что добавляются дополнительные ограничения на матрицу  $Q(t_{k+1} - 0)$ :

$$(22) \quad Q(t_{k+1} - 0) \geq Q(t_k) + h_{\min}Z(t_k), \quad Q(t_{k+1} - 0) \geq Q(t_k) + h_{\max}Z(t_k).$$

*Замечание 3.* С целью уменьшения погрешности при линейной аппроксимации решения задачи оптимизации с шагом, равным периоду дискретного управления, предлагается аппроксимировать решение задачи оптимизации на каждом дискретном интервале  $[t_k, t_{k+1})$  с более мелким шагом, чем период дискретного управления, т.е.  $h_i = (t_{k+1} - t_k)/M = h/M$ , где  $M$  — количество промежуточных точек интервала  $[t_k, t_{k+1})$ . В результате исходная задача оптимизации заменяется следующей:

$$\begin{aligned} &\text{trace}(Q(t_{k+1} - 0)) \rightarrow \min \quad \text{с ЛМН ограничениями} \\ &Q(t_{kj}) = Q(t_{k(j-1)}) + (j-1)h_i Z(t_{k(j-1)}) > 0, \end{aligned}$$

$$\begin{bmatrix} -Z(t_{k(j-1)}) + A_z Q(t_{k(j-1)}) + Q(t_{k(j-1)}) A_z^T + \\ + \alpha_{kj} Q(t_{k(j-1)}) + \beta \Phi_z \Phi_z^T & D_z & Q(t_{k(j-1)}) C_{fz}^T & 0 \\ D_z^T & -\alpha_{kj} I & 0 & I \\ C_{fz} Q(t_{k(j-1)}) & 0 & -\frac{\beta_{kj}}{\mu_1} I & 0 \\ 0 & I & 0 & -\frac{\beta_{kj}}{\mu_0} I \end{bmatrix} \leq 0,$$

$$\begin{bmatrix} -Z(t_{kj}) + A_z Q(t_{kj}) + Q(t_{kj}) A_z^T + \\ + \alpha_{kj} Q(t_{kj}) + \beta \Phi_z \Phi_z^T & D_z & Q(t_{kj}) C_{fz}^T & 0 \\ D_z^T & -\alpha_{kj} I & 0 & I \\ C_{fz} Q(t_{kj}) & 0 & -\frac{\beta_{kj}}{\mu_1} I & 0 \\ 0 & I & 0 & -\frac{\beta_{kj}}{\mu_0} I \end{bmatrix} \leq 0,$$

при всех  $j = 1, 2, \dots, M$  и ЛМН

$$\begin{pmatrix} Q(t_k) & \tilde{J}Q(t_k - 0)\tilde{C}^T + \tilde{B}Y_k \\ \tilde{C}Q(t_k - 0)\tilde{J}^T + Y_k^T \tilde{B}^T & \tilde{C}Q(t_k - 0)\tilde{C}^T \end{pmatrix} \geq 0,$$

где  $t_{kj} = t_{k(j-1)} + (j-1)h_i$ ,  $\alpha_{kj} = \alpha(Q(t_{kj}))$  и матрицы  $A_z$ ,  $D_z$ ,  $\Phi_z$ ,  $C_{fz}$  берутся в момент  $t_{kj}$ .

## 6. Численные примеры

Для сравнения рассмотрим часто встречающийся пример из [6] линейной системы с дискретным управлением со значениями параметров:

$$A = \begin{bmatrix} 0 & 1 \\ 0 & -0,1 \end{bmatrix}, \quad B = \begin{bmatrix} 0 \\ 0,1 \end{bmatrix}, \quad K = [ -3,75 \quad -11,5 ].$$

Среди разрабатываемых подходов [6, 7, 9, 14, 16, 17] наибольшая верхняя оценка  $h = 1,7294$  периода дискретного управления с постоянными коэффициентами  $K$  была получена в [18] с использованием так называемого петлевого функционала с граничными условиями. Применение предложенного здесь подхода при численном решении МСС (7), принимающей вид  $dQ(t)/dt = A_z Q + Q A_z^T$  для линейной системы без возмущений, с РЛМН (10), получена такая же верхняя граница рассматриваемого дискретного управления, при котором эллипсоидальные оценки множества решений с начальными данными из заданного эллипсоида через некоторый промежуток времени стягиваются к началу координат, что соответствует поведению асимптотически устойчивой системы.

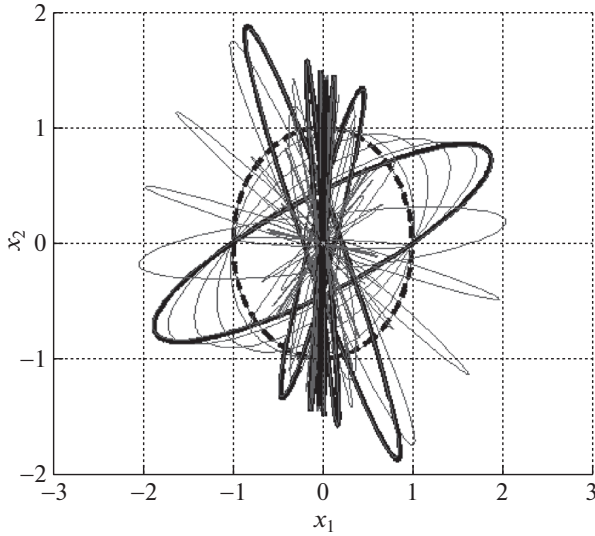


Рис. 1. Эллипсоидальные оценки множества состояний системы с периодическим ( $h = 1,7294$ ) дискретным управлением.

Следует отметить, что в [18] с помощью достаточно сложного, так называемого петлевого функционала анализ асимптотической устойчивости линейной автономной системы без возмущений сводился к разрешимости задачи оптимизации с ЛМН, в которой наряду с обычными переменными появляется большое количество вспомогательных матричных переменных. При этом существенно возрастает размерность ЛМН. В отличие от [18] предлагаемый подход применительно к линейным системам без возмущений позволяет свести задачу оценивания состояния (а также анализа асимптотической устойчивости) к совокупности задач оптимизации с ЛМН, в которых отсутствуют какие-либо вспомогательные переменные, что приводит к сокращению вычислений.

На рис. 1 толстыми сплошными линиями показаны эллипсы, ограничивающие состояния рассматриваемой системы в дискретные моменты времени  $t_k = kh$ ,  $k = 1, \dots, N$ , при  $h = 1,7294$ , а тонкими сплошными линиями — в промежуточные моменты времени. Начальный эллипс с матрицей  $Q_0 = \begin{bmatrix} 1 & 0 \\ 0 & 1 \end{bmatrix}$  показан штриховой линией.

Пусть теперь период дискретного управления задан как  $h = 5$  с. В результате решения задачи оптимизации  $\text{trace}(Q(t_{k+1})) \rightarrow \min$  с ЛМН ограничениями (12)–(14) и (22) при каждом  $k = 0, 1, \dots, 19$  были получены коэффициенты усиления  $K(t_k)$  дискретного управления, которое обеспечивает ограниченность на интервале  $[0, 70$  с] траекторий рассматриваемой системы, с начальными данными из эллипса с матрицей  $Q_0$  (показан на рис. 2,а толстой штриховой линией). Тонкими сплошными линиями показаны эллипсы, ограничивающие состояния в точках дискретизации  $t_k$  указанного интервала времени. При этом эллипсы сначала при каждом  $t_k \in [0, 25$  с) расширяются (по критерию  $\text{trace}(Q(t_k))$ ), а во второй части интервала  $[0, 70$  с] медленно сжимаются.

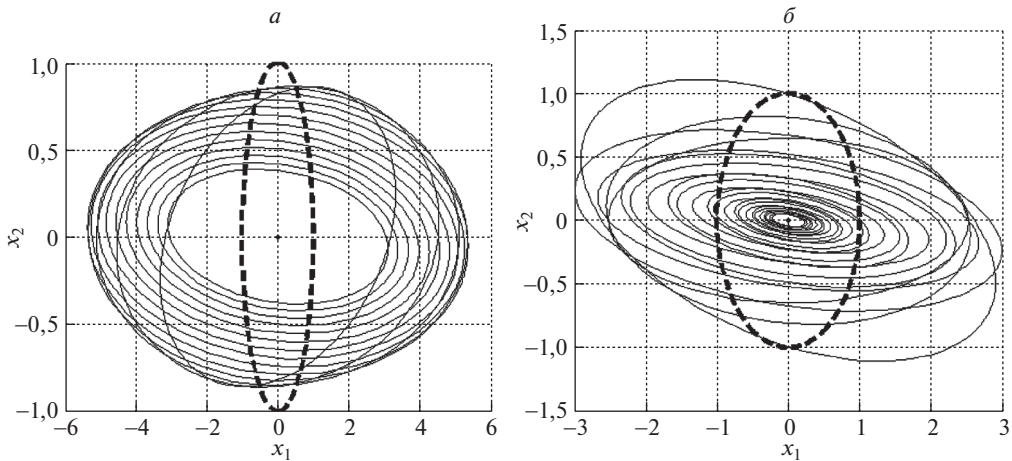


Рис. 2. Эллипсоидальные оценки множества состояний системы с периодическим ( $h = 5$  с) дискретным управлением.

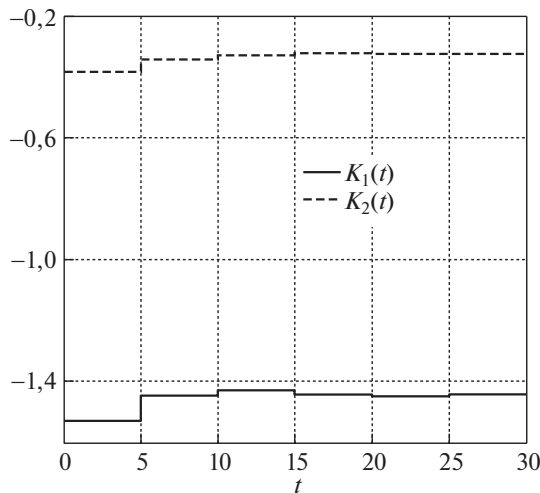


Рис. 3. Изменения коэффициентов усиления периодического ( $h = 5$  с) дискретного управления.

С использованием замечания 2 при  $h_i = h/5 = 1$  с были получены коэффициенты дискретного управления и эллипсоидальные оценки состояния, которые представлены на рис. 2, б. Штриховой линией показан начальный эллипс, а тонкими сплошными линиями — эллипсы, ограничивающие состояния в дискретные  $t_k$  и промежуточные  $t_{ki}$  моменты времени рассматриваемого интервала  $[0, 70$  с].

Сравнивая рис. 2, а и 2, б, можно отметить, что полученное периодическое дискретное управление обеспечивает после  $t = 5$  с постепенное сжатие эллипсоидальных оценок, причем более эффективное (по критерию следа матрицы эллипса) при использовании замечания 2. На рис. 3 изображены графики изменения коэффициентов усиления дискретного управления.

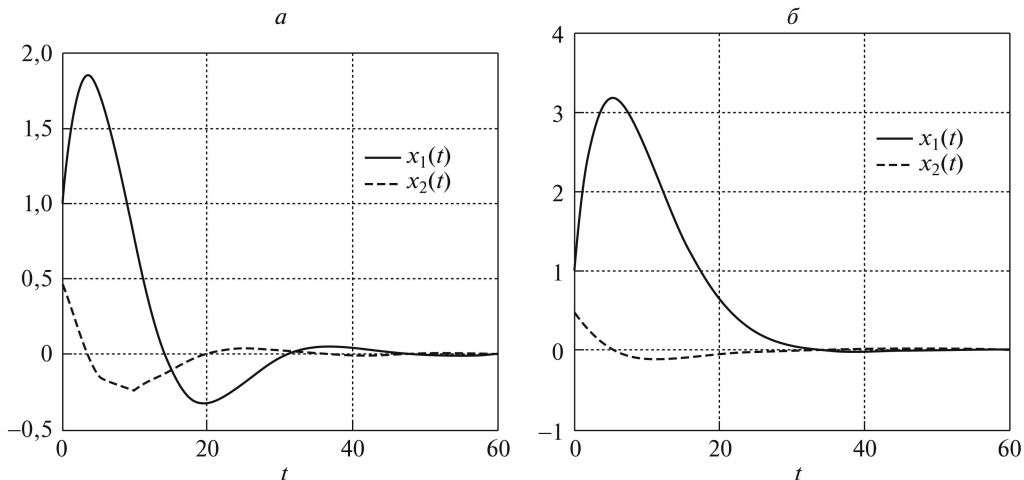


Рис. 4. Изменения координат состояния рассматриваемой системы (а) с периодическим, (б) с аperiodическим дискретным управлением.

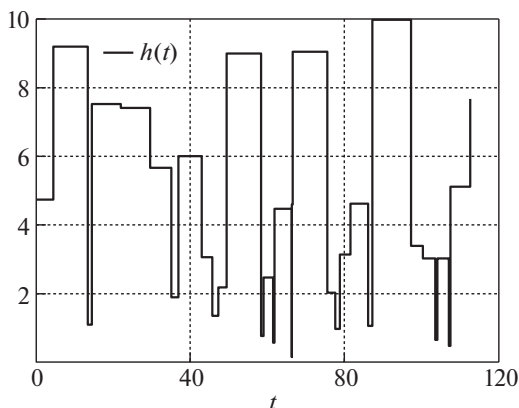


Рис. 5. Изменение шага дискретизации в системе с аperiodическим дискретным управлением.

В результате решения задачи оптимизации из теоремы 6 для системы с аperiodическим дискретным управлением ( $h_{\min} = 0,01$  с;  $h_{\max} = 10$  с) получены коэффициенты усиления  $K = [-0,0617 \quad -0,4326]$ , при которых обеспечивается сначала расширение, а после 10 с — медленное сжатие эллипсоидальных оценок. На рис. 4,а показаны изменения координат состояния рассматриваемой системы с полученным периодическим ( $h = 5$  с) дискретным управлением, а на рис. 4,б — с аperiodическим дискретным управлением при изменении шага дискретизации  $h_k \in [h_{\min}, h_{\max}]$ , задаваемого с помощью датчика случайных чисел (показано на рис. 5).

## 7. Приложение к однозвенному манипулятору

Рассматривается манипулятор с одним звеном, который через редуктор соединен с выходным валом двигателя постоянного тока [37]. Предполагается, что движение манипулятора происходит в вертикальной плоскости (рис. 6).



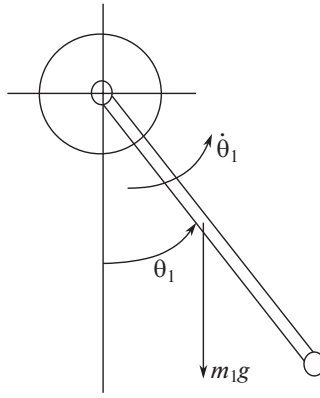


Рис. 6. Кинематическая схема однозвенного манипулятора.

Обозначим  $\theta_1$  — угол отклонения от вертикальной оси,  $\dot{\theta}_1 = d\theta_1/dt$  — угловая скорость звена манипулятора. Предполагается, что известны значения  $\theta_1, \dot{\theta}_1$  только в дискретные моменты времени  $t_k \in \Theta$ .

Уравнение динамики манипулятора имеет вид

$$(23) \quad (m_1 l_1^2 + I_{p1}) \ddot{\theta}_1 = -m_1 g l_1 \sin \theta_1 + T_1 - B_{\theta 1} \dot{\theta}_1 - w_1.$$

Здесь  $m_1, l_1, I_{p1}$  — масса, расстояние до центра масс и момент инерции звена,  $B_{\theta 1}$  — коэффициент пропорциональности момента вязкого трения,  $w_1$  — неопределенное возмущение, вызванное моментами сопротивления, сухого трения и других неучтенных моментов,  $T_1$  — момент, создаваемый двигателем постоянного тока.

Пренебрегая электромагнитными переходными процессами в якорной обмотке двигателя и полагая, что момент двигателя пропорционален напряжению якорной обмотки, выражение для момента представляется в виде

$$(24) \quad T_1 = \frac{K_g K_m}{R} V_1 - \frac{(K_g K_m)^2}{R} \dot{\theta}_1,$$

где  $K_g, K_m, R$  — коэффициенты редукции, пропорциональности и активное сопротивление обмотки двигателя,  $V_1$  — управляющее напряжение. Таким образом, момент, приложенный к звену, является функцией входного напряжения якорной обмотки двигателя. Второй член пропорционален угловой скорости со знаком минус потому, что ЭДС вращения вызывает противодействующий момент по сравнению с моментом, создаваемым входным напряжением.

Положение равновесия для манипулятора определяется из уравнения

$$-m_1 g l_1 \sin \theta_1 + T_1 = 0.$$

Если требуется стабилизировать манипулятор в заданном положении  $\theta_{10}$ , то необходимо приложить управляющий момент  $T_0 = m_1 g l_1 \sin \theta_{10}$ . Тогда из (24) получаем выражение для установочного значения напряжения для выбранного положения:

$$V_0 = m_1 g l_1 \sin \theta_{10} \frac{R}{K_g K_m}.$$

Введем обозначения для отклонений от невозмущенного движения  $\theta_{10}$  и от установочных значений момента и напряжения:

$$\theta = \theta_1 - \theta_{10}, \quad \dot{\theta} = \dot{\theta}_1, \quad \ddot{\theta} = \ddot{\theta}_1, \quad T = T_1 - T_0, \quad V = V_1 - V_0.$$

После подстановки (24) в (23) с учетом обозначения  $\beta = K_g K_m$  получаем уравнение движения манипулятора в отклонениях от требуемого положения равновесия  $\theta_{10}$ :

$$\ddot{\theta} = \frac{-m_1 g l_1 [\sin(\theta + \theta_{10}) - \sin(\theta_{10})] - \left( B_{\theta 1} + \frac{\beta^2}{R} \right) \dot{\theta} + \frac{\beta}{R} V - w}{m_1 l_1^2 + I_{p1}}.$$

Определим вектор состояния  $x = (\theta, \dot{\theta})^T$  и управление  $u(t_k) = V(t_k) = K(t_k)x(t_k)$ . Тогда исходное уравнение представляется в виде (1), где

$$A = \begin{pmatrix} 0 & 1 \\ \frac{m_1 g l_1}{m_1 l_1^2 + I_{p1}} & -\frac{B_{\theta 1} + \frac{\beta^2}{R}}{m_1 l_1^2 + I_{p1}} \end{pmatrix},$$

$$B = \begin{pmatrix} 0 \\ \frac{\beta}{R(m_1 l_1^2 + I_{p1})} \end{pmatrix}, \quad D_1 = \begin{pmatrix} 0 \\ \frac{-1}{m_1 l_1^2 + I_{p1}} \end{pmatrix}, \quad \Phi = \begin{pmatrix} 0 \\ \frac{-m_1 g l_1}{m_1 l_1^2 + I_{p1}} \end{pmatrix},$$

$$C_f = (1 \ 0), \quad \varphi(\theta) = \sin(\theta + \theta_{10}) - \sin(\theta_{10}) - \theta.$$

Моделирование системы с регуляторами проводилось при значениях параметров:  $l = 0,5$ ;  $I_P = 0,05$ ;  $g = 9,8$ ;  $R = 2,6$ ;  $K_g = 3,7$ ;  $K_m = 3,835$ ;  $B_\theta = 0,025$ .

Пусть требуется стабилизировать звено манипулятора в вертикальном положении  $\theta_{10} = \pi$ . При таком  $\theta_{10}$  нелинейность  $\varphi(\theta)$  удовлетворяет условию (2) при  $\mu_0 = 0$ ,  $\mu_1 \leq 1$ .

С использованием теоремы 6 в результате решения совокупности задач оптимизации с ЛМН при  $\alpha = 0,0043$ ,  $\beta = 1,0296$  было получено периодическое с  $h = 2$  с дискретное управление с постоянными коэффициентами усиления  $K = [-3,2518 \quad -0,0025]$ , которое обеспечивает на конечном интервале  $[0 \ 100 \text{ с}]$  стабилизацию манипулятора с начальными данными из эллипса с матрицей  $Q_0 = \begin{bmatrix} 1 & 0 \\ 0 & 1 \end{bmatrix}$ . На рис. 7 представлены эллипсоидальные оценки состояния однозвенного манипулятора с периодическим дискретным управлением. Начальный эллипс с матрицей  $Q_0$  обозначен толстой штриховой линией. Тонкими сплошными линиями показаны эллипсы, ограничивающие состояние в дискретные моменты времени  $t_k$ ,  $k = 1, 2, \dots, 50$ . Предельный эллипс с матрицей  $Q_0 = \begin{bmatrix} 0,1193 & -0,0159 \\ -0,0159 & 0,5904 \end{bmatrix}$ , к которому стягиваются оценки состояния при  $t \geq 90$  с, обозначен толстой сплошной линией.

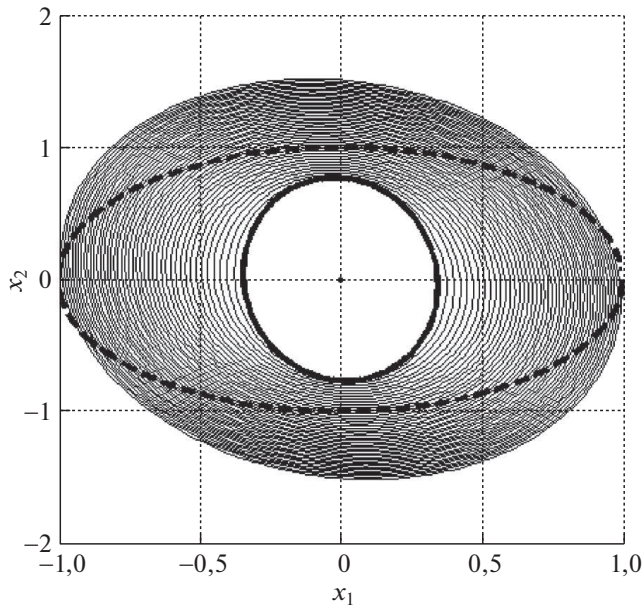


Рис. 7. Оценки множества состояний однозвенного манипулятора с периодическим дискретным управлением при действии возмущений.

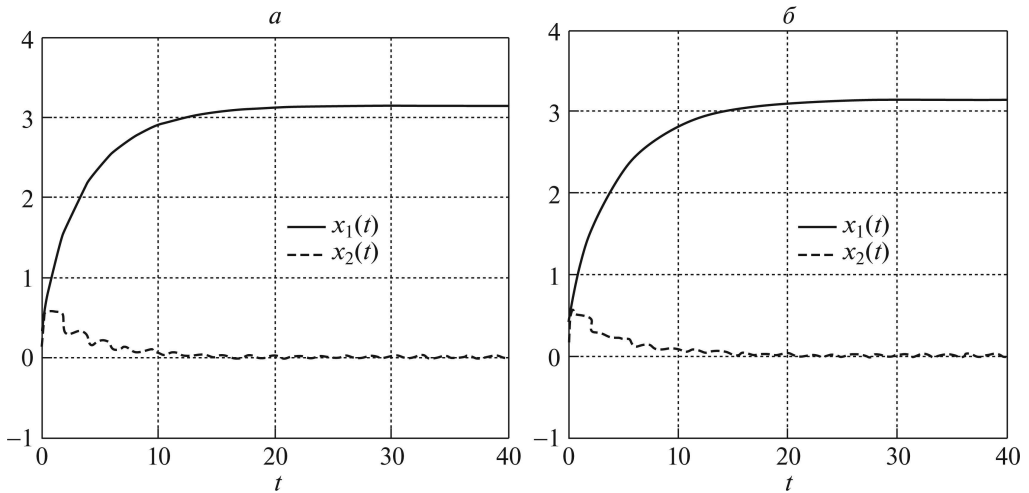


Рис. 8. Изменения координат состояния однозвенного манипулятора (а) с периодическим дискретным управлением, (б) с аperiodическим дискретным управлением при действии возмущений.

На рис. 8,а и 8,б показаны изменения координат состояния однозвенного манипулятора соответственно с периодическим и аperiodическим дискретным управлением при действии возмущения, заданного в виде  $w(t) = \sin(2 \cos(3t))$ .

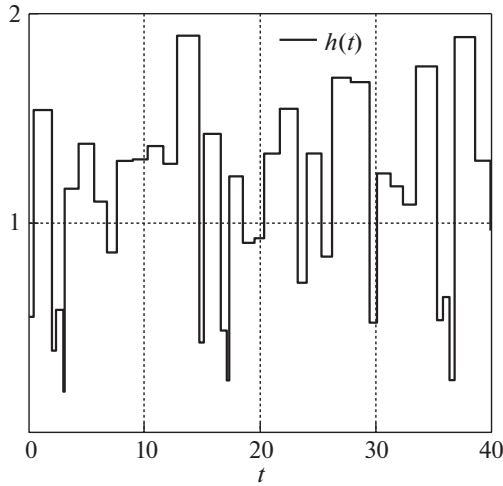


Рис. 9. Изменение шага дискретизации в системе с аperiodическим дискретным управлением.

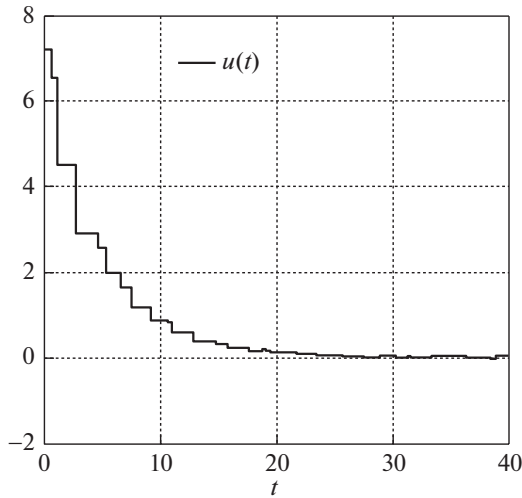


Рис. 10. Изменение аperiodического дискретного управляющего сигнала.

На рис. 9 и 10 представлены соответственно изменения шага дискретизации и управляющего сигнала в системе с аperiodическим дискретным управлением при действии возмущений.

## 8. Заключение

Для непрерывных систем с липшицевыми нелинейностями, неопределенными возмущениями и дискретным управлением предложены способы оценивания состояния в виде эллипсоидов, ограничивающих состояния для процессов с начальными данными из заданного эллипсоида. Исходная система с дискретным управлением представлена как импульсная система. С исполь-

зованием квадратичной функции Ляпунова с изменяющимися параметрами получены условия ограниченности на конечном интервале в виде разрешимости дифференциального матричного уравнения и задачи оптимизации с дифференциально-разностными линейными матричными неравенствами. При кусочно-линейной аппроксимации решения ДЛМН задачи оценивания состояния и синтеза как периодического, так и аperiodического дискретного управления сведены к совокупности задач оптимизации с ЛМН, для численного решения которых применены методы полуопределенного программирования. Для сравнения рассмотрен пример линейной системы второго порядка без возмущений. Для него известными методами была ранее получена верхняя граница периода дискретного управления с постоянными коэффициентами, при которых обеспечивается асимптотическая устойчивость. Такая же верхняя граница получена с применением предложенного подхода при сокращении количества варьируемых переменных в задаче оптимизации. Кроме того, данный подход позволяет получать на конечном интервале времени эллипсоидальные оценки множества состояний исходной нелинейной системы с дискретным управлением и неопределенными возмущениями, синтезировать дискретное управление, обеспечивающее свойство ограниченности относительно заданных множеств. Результаты применены для оценивания состояния и синтеза периодического и аperiodического дискретного управления, обеспечивающего стабилизацию на конечном интервале времени однозвенного манипулятора, представленного нелинейной моделью с неопределенными возмущениями.

## ПРИЛОЖЕНИЕ

*Доказательство леммы.* Чтобы скалярная переменная  $\text{trace}(Q(t))$ , зависящая от времени и параметров, принимала наименьшее значение при каждом  $t \in [t_k, t_{k+1})$ , достаточно, чтобы ее производная  $d(\text{trace}(Q(t)))/dt$  была минимальной по параметрам  $\beta > 0$ ,  $\alpha > \mu_0/\beta$  при всех  $t \in [t_k, t_{k+1})$ . Поскольку  $d(\text{trace}(Q(t)))/dt = \text{trace}(dQ(t)/dt)$ , то приходим к следующей задаче оптимизации:

$$(П.1) \quad \text{trace} \left( A_z Q + Q A_z^T + \alpha Q + \frac{\beta}{\alpha\beta - \mu_0} D_z D_z^T + \beta \Phi_z \Phi_z^T + \frac{\mu_1}{\beta} Q C_{fz}^T C_{fz} Q \right) \rightarrow \min_{\alpha, \beta}.$$

Так как  $\text{trace}(A_z Q + Q A_z^T)$  не зависит от  $\alpha$  и  $\beta$ , то минимум для (П.1) (если существует) будет отличаться от минимума функции  $F(\alpha, \beta) = \alpha \text{trace}(Q) + \frac{\beta}{\alpha\beta - \mu_0} \text{trace}(D_z D_z^T) + \beta \text{trace}(\Phi_z \Phi_z^T) + \frac{\mu_1}{\beta} \text{trace}(Q C_{fz}^T C_{fz} Q)$  на постоянную при каждом  $t$  величину  $\text{trace}(A_z Q + Q A_z^T)$ . По условиям леммы матрицы  $\Phi_z$  и  $D_z$  имеют хотя бы по одному ненулевому элементу при каждом  $t \in [t_k, t_{k+1})$ . Величины  $\text{trace}(D_z D_z^T)$  и  $\text{trace}(\Phi_z \Phi_z^T)$  будут положительными при всех  $t \in [t_k, t_{k+1})$ , так как они представляют собой квадрат нормы Фробениуса для матриц  $D_z^T$  и  $\Phi_z^T$  соответственно. Матрица  $Q(t)$  является положительно определенной при всех  $t \in [t_k, t_{k+1})$ , так что  $\text{trace}(Q(t)) > 0$  и  $\text{trace}(Q C_{fz}^T C_{fz} Q) \geq 0$ . Функция  $F(\alpha, \beta)$  определена, непрерывна, непрерывно

дифференцируема, ограничена снизу  $F(\alpha, \beta) > 0$  в открытой выпуклой области  $\beta > 0$ ,  $\alpha > \mu_0/\beta$ . Проверим условие выпуклости функции  $F(\alpha, \beta)$  по  $\alpha, \beta$ . Для этого вычислим частные производные второго порядка для  $F(\alpha, \beta)$  по параметрам  $\beta, \alpha$ :

$$(П.2) \quad \partial \text{trace}(dQ(t)/dt)/\partial \alpha = \text{trace}(Q(t)) - \frac{\beta^2}{(\alpha\beta - \mu_0)^2} \text{trace}(D_z D_z^T),$$

$$(П.3) \quad \partial \text{trace}(dQ(t)/dt)/\partial \beta = -\frac{\mu_1}{\beta^2} \text{trace}(QC_{fz}^T C_{fz} Q) - \\ - \frac{\mu_0}{(\alpha\beta - \mu_0)^2} \text{trace}(D_z D_z^T) + \text{trace}(\Phi_z \Phi_z^T),$$

$$\partial^2 \text{trace}(dQ(t)/dt)/\partial \alpha^2 = \frac{2\beta^3}{(\alpha\beta - \mu_0)^3} \text{trace}(D_z D_z^T),$$

$$\partial^2 \text{trace}(dQ(t)/dt)/\partial \alpha \partial \beta = \partial^2 \text{trace}(dQ(t)/dt)/\partial \beta \partial \alpha = \frac{2\beta\mu_0}{(\alpha\beta - \mu_0)^3} \text{trace}(D_z D_z^T),$$

$$\partial^2 \text{trace}(dQ(t)/dt)/\partial \beta^2 = \frac{2\mu_1}{\beta^3} \text{trace}(QC_{fz}^T C_{fz} Q) + \frac{2\mu_0\alpha}{(\alpha\beta - \mu_0)^3} \text{trace}(D_z D_z^T).$$

Легко видеть, что матрица вторых производных (гессиан)

$$\nabla^2 F(\alpha, \beta) = \frac{2}{(\alpha\beta - \mu_0)^3} \text{trace}(D_z D_z^T) \begin{bmatrix} \beta^3 & \mu_0\beta \\ \mu_0\beta & \mu_0\alpha \end{bmatrix} + \\ + \begin{bmatrix} 0 & 0 \\ 0 & 2\mu_1 \text{trace}(QC_{fz}^T C_{fz} Q)/\beta^3 \end{bmatrix}$$

является положительно определенной при всех  $\beta > 0$ ,  $\alpha > \mu_0/\beta$ . Согласно теореме 5 из [38, с. 163], функция  $F(\alpha, \beta)$  является выпуклой по параметрам  $\beta, \alpha$  из области определения. Известно, что если выпуклая функция имеет минимум внутри открытой выпуклой области, то этот минимум будет глобальным. Для нахождения минимума определим стационарные точки, используя необходимые условия экстремума функции [38]. Приравнявая производные (П.2), (П.3) нулю, получаем:

$$(П.4) \quad \text{trace}(Q(t)) = \frac{\beta^2}{(\alpha\beta - \mu_0)^2} \text{trace}(D_z D_z^T),$$

$$(П.5) \quad \text{trace}(\Phi_z \Phi_z^T) = \frac{\mu_1}{\beta^2} \text{trace}(QC_{fz}^T C_{fz} Q) + \frac{\mu_0}{(\alpha\beta - \mu_0)^2} \text{trace}(D_z D_z^T).$$

Уравнение (П.5) с учетом (П.4) принимает вид

$$\text{trace}(\Phi_z \Phi_z^T) = \frac{1}{\beta^2} [\mu_0 \text{trace}(Q(t)) + \mu_1 \text{trace}(QC_{fz}^T C_{fz} Q)].$$

Отсюда находится  $\beta(Q(t))$  как в (8). Далее из первого уравнения находим  $(\alpha\beta - \mu_0)^2 = \frac{\beta^2 \text{trace}(D_z D_z^T)}{\text{trace}(Q(t))}$  и, извлекая квадратный корень из обеих частей,

получаем второе в (8) выражение для  $\alpha(Q(t))$ . Так что (8) является единственным решением уравнений (П.2), (П.3) при  $\beta > 0$ ,  $\alpha > \mu_0/\beta$ .

Выше было показано, что матрица вторых частных производных является положительно определенной при всех  $\beta > 0$ ,  $\alpha > \mu_0/\beta$ , а значит, и для  $\beta$ ,  $\alpha$  из (8). Таким образом, согласно достаточным условиям [38] полученные выражения (8) действительно доставляют глобальный минимум  $d(\text{trace}(Q(t)))/dt$  при каждом  $t \in [t_k, t_{k+1})$ , что завершает доказательство леммы.

*Доказательство теоремы 6.* В случае периодического дискретного управления ( $h_k = h = \text{const} > 0$ ), как показано в разделе 3, задача построения оценки состояния сводится к совокупности задач оптимизации  $\text{trace}(Q(t_{k+1} - 0)) \rightarrow \min$  с ЛМН ограничениями (10), (12)–(14) для всех  $k = 0, \dots, N - 1$ . С учетом (19) матричное неравенство (10) здесь принимает вид

$$\begin{pmatrix} Q(t_k) & (\tilde{J} + \tilde{B}K(t_k)C)Q(t_k - 0) \\ Q(t_k - 0)(\tilde{J} + \tilde{B}K(t_k)C)^T & Q(t_k - 0) \end{pmatrix} \geq 0.$$

Далее, умножая последнее неравенство слева на матрицу  $\text{diag}(I, C)$ , а справа — на  $\text{diag}(I, C^T)$  и вводя замену  $Y_k = K(t_k)CQ(t_k - 0)C^T$ , приходим к РЛМН (20) относительно матричных переменных  $Q(t_k)$ ,  $Q(t_{k+1} - 0)$  и  $Y_k$ . Ограничение на управление (17) обеспечивается ЛМН (21). Отметим, что параметр  $\alpha_k$  при каждом  $k = 0, 1, 2, \dots, N - 1$  определяется из (8) по известной после  $k$ -й итерации матрице  $Q(t_k - 0)$ , а матрица  $CQ(t_k - 0)C^T$  будет положительно определенной, так как является верхним левым блоком размерности  $(n \times n)$ -матрицы  $Q(t_k - 0)$ . Теорема 6 доказана.

Автор выражает благодарность А.И. Матасову за ряд ценных замечаний по статье.

## СПИСОК ЛИТЕРАТУРЫ

1. *Hetel L., Fiter C., Omran H., Seuret A., Fridman E., Richard J.-P., Niculescu S.* Recent Developments on the Stability of Systems with Aperiodic Sampling: an Overview // *Automatica*. 2017. V. 76. P. 309–335.
2. *Seuret A.* Contributions to the Stability Analysis and Control of Networked Systems. Automatic Control Engineering. Université Toulouse 3 Paul Sabatier, 2017.
3. *Hespanha J.P., Naghshtabrizi P., Xu Y.* A Survey of Recent Results in Networked Control Systems // *Proc. IEEE*. 2007. V. 95 (1). P. 138–162.
4. *Zhang X.-M., Han Q.-L., Yu X.* Survey on Recent Advances in Networked Control Systems // *IEEE Trans. Ind. Inf.* 2016. V. 12. P. 1740–1752.
5. *Lee T., Wu Z.-G., Park J.* Synchronization of a Complex Dynamical Network with Coupling Time-Varying Delays via Sampled-Data Control // *Appl. Math. Comput.* 2012. V. 219 (3). P. 1354–1366.
6. *Fridman E., Seuret A., Richard J.-P.* Robust Sampled-Data Stabilization of Linear Systems: An Input Delay Approach // *Automatica*. 2004. V. 40. P. 1441–1446.
7. *Fridman E.* A Refined Input Delay Approach to Sampled-Data Control // *Automatica*. 2010. V. 46. P. 421–427.

8. *Naghshtabrizi P., Hespanha J., Teel A.* On the Robust Stability and Stabilization of Sampled-Data Systems: A Hybrid System Approach. // Proc. 45th IEEE Conf. on Decision and Control, San Diego, CA, USA, 13–15 December 2006. P. 4873–4878.
9. *Naghshtabrizi P., Hespanha J.P., Teel A.R.* Exponential Stability of Impulsive Systems with Application to Uncertain Sampled-Data Systems // Syst. Control Lett. 2008. V. 57. P. 378–385.
10. *Suh Y.* Stability and Stabilization of Nonuniform Sampling Systems // Automatica. 2008. V. 44. P. 3222–3226.
11. *Fujioka H.* A Discrete-time Approach to Stability Analysis of Systems with Aperiodic Sample-and-hold Devices // IEEE Trans. Automat. Control. 2009. V. 54 (10). P. 2440–2445.
12. *Oishi Y., Fujioka H.* Stability and Stabilization of Aperiodic Sampled-Data Control Systems Using Robust Linear Matrix Inequalities // Automatica. 2010. V. 46. P. 1327–1333.
13. *Chen W.-H., Zheng W.X.* Input-to-State Stability for Networked Control Systems via an Improved Impulsive System Approach // Automatica. 2011. V. 47. P. 789–796.
14. *Seuret A.* A Novel Stability Analysis of Linear Systems under Asynchronous Sampling // Automatica. 2012. V. 48. P. 177–182.
15. *Zhang C.-K., Jiang L., He Y., Wu H., Wu M.* Stability Analysis for Control Systems with Aperiodically Sampled Data Using an Augmented Lyapunov Functional Method // IET Control Theory Appl. 2012. No. 7. P. 1219–1226.
16. *Seuret A., Peet M.M.* Stability Analysis of Sampled-Data Systems Using Sum of Squares // IEEE Trans. Automat. Control. 2013. V. 58 (6). P. 1620–1625.
17. *Briat C.* Convex Conditions for Robust Stability Analysis and Stabilization of Linear Aperiodic Impulsive and Sampled-Data Systems under Dwell-Time Constraints // Automatica. 2013. V. 49. P. 3449–3457.
18. *Seuret A., Briat C.* Stability Analysis of Uncertain Sampled-Data Systems with Incremental Delay Using Looped Functionals // Automatica. 2015. V. 55. P. 274–278.
19. *Omran H., Hetel L., Petreczky M., Richard J.P., Lamnabhi-Lagarrigue F.* Stability Analysis of Some Classes of Input-Affine Nonlinear Systems with Aperiodic Sampled-Data Control // Automatica. 2016. V. 70. P. 266–274.
20. *Jiang X., Yin Z., Wu J.* Stability Analysis of Linear Systems Under Time-Varying Samplings by a Non-Standard Discretization Method. // Electronics. 2018. V. 7 (10). P. 1–11.
21. *Xiao S.-P., Lian H., Teo K., Zeng H.-B., Zhang X.-H.* A New Lyapunov Functional Approach to Sampled-Data Synchronization Control for Delayed Neural Networks // J. Franklin Inst. 2018. P. 8857–8873.
22. *Park J.M., Park P.G.* An Improved Stability Criterion for Linear Systems with Multi-Rate Sampled Data // Nonlinear Analysis: Hybrid Systems. 2020. V. 38. P. 100947.
23. *Sevim U., Goren-Sumer L.* Singular Value Assignment for Nonuniformly Sampled Systems: Stabilization and Control. arXiv:1706.00967v2 [math.DS] 29 Jun 2020.
24. *Khargonekar P.P., Sivashankar N.*  $H_2$  optimal Control for Sampled-Data Systems // Syst. Control Lett. 1991. V. 17. No. 6. P. 425–436.
25. *Hu L.S., Lam J., Cao Y.Y., Shao H.H.* An LMI Approach to Robust  $H_2$  Sampled-Data Control for Linear Uncertain Systems // IEEE Trans. Syst., Man and Cybernetics, Part B: Cybernetics. 2003. V. 33. No. 1. P. 149–155.
26. *Kim J.H., Hagiwara T.* Extensive Theoretical/Numerical Comparative Studies on  $H_2$  and Generalized  $H_2$  Norms in Sampled-Data Systems // Int. J. Control. 2017. V. 90. No. 11. P. 2538–2553.



27. *Kim J.H., Hagiwara T.* Upper/Lower Bounds of Generalized  $H_2$  Norms in Sampled-Data Systems with Convergence Rate Analysis and Discretization Viewpoint // *Syst. Control Lett.* 2017. V. 107. P. 28–35.
28. *Бирюков Р.С.* Обобщенное  $H_2$ -управление линейным непрерывно-дискретным объектом на конечном горизонте // *АиТ.* 2020. № 8. С. 40–53.  
*Birukov R.S.* Generalized  $H_2$ -optimal Control of Continuous-Discrete Linear Plant on a Finite Horizon // *Autom. Remote Control.* 2020. V. 81. No. 8. P. 1394–1404.
29. *Geromel J.C., Colaneri P., Bolzern P.* Differential Linear Matrix Inequality in Optimal Sampled-Data Control // *Automatica.* 2019. V. 100. P. 289–298.
30. *Holicki T., Carsten W., Scherer C.W.* Output Feedback Synthesis for a Class of Aperiodic Impulsive Systems. arXiv:1910.03486v3 [math.OC] 21 Jun 2020.
31. *Ríos H., Hetel L., Efimov D.* Robust Output-feedback Control for Uncertain Linear Sampled-Data Systems: A 2D Impulsive System Approach // *Nonlinear Analysis: Hybrid Systems*, 2019. P. 177–201.
32. *Amato F., Ambrosino R., Ariola M., Cosentino C., De Tommasi G.* Finite Time Stability and Control. London: Springer-Verlag, 2014.
33. *Amato F., De Tommasi G., Pironti A.* Finite-time Stability: an Input-output Approach. N.Y.: Wiley, 2018.
34. *Маликов А.И.* Оценивание состояния и стабилизация непрерывных систем с неопределенными нелинейностями и возмущениями // *АиТ.* 2016. № 5. С. 19–36.  
*Malikov A.I.* State Estimation and Stabilization of Continuous Systems with Uncertain Nonlinearities and Disturbances // *Autom. Remote Control.* 2016. V. 77. No. 5. P. 764–778.
35. *Маликов А.И.* Оценивание состояния и стабилизация дискретных систем с неопределенными нелинейностями и возмущениями // *АиТ.* 2019. № 11. С. 59–82.  
*Malikov A.I.* State Estimation and Stabilization of Discrete-time Systems with Uncertain Nonlinearities and Disturbances // *Autom. Remote Control.* 2019. V. 80. No. 11. P. 1976–1995.
36. *Маликов А.И., Дубаккина Д.И.* Численные способы решения задач оптимизации с дифференциальными линейными матричными неравенствами // *Изв. ВУЗов. Математика.* 2020. № 4. С. 74–86.  
*Malikov A.I., Dubakina D.I.* Numerical Methods for Solving Optimization Problems with Differential Linear Matrix Inequalities // *Izv. Vyssh. Uchebn. Zaved. Mat.* 2020. No. 4. P. 74–86.
37. *Маликов А.И.* Синтез наблюдателей состояния по результатам измерений для нелинейных липшицевых систем с неопределенными возмущениями // *АиТ.* 2017. № 5. С. 16–35.  
*Malikov A.I.* State Observer Synthesis by Measurement Results for Nonlinear Lipschitz Systems with Uncertain Disturbances // *Autom. Remote Control.* 2017. V. 78. No. 5. P. 782–797.
38. *Васильев В.П.* Методы оптимизации. М.: Факториал Пресс, 2002.

*Статья представлена к публикации членом редколлегии А.И. Матасовым.*

Поступила в редакцию 11.09.2020

После доработки 21.11.2020

Принята к публикации 08.12.2020